

ОПТИЧЕСКИЕ ИНФОРМАЦИОННЫЕ ТЕХНОЛОГИИ

УДК 535.015

ВЛИЯНИЕ НЕЛОКАЛЬНОСТИ ОТКЛИКА СРЕДЫ НА ПОЛЯРИЗАЦИЮ СОЛИТОНА

© А. А. Заболотский

*Институт автоматизации и электрометрии СО РАН,
630090, г. Новосибирск, просп. Академика Коптюга, 1
E-mail: zabolotskii@iae.nsk.su*

Изучается влияние нелокальности на динамику поляризации импульса электрического поля в среде с кубичной нелинейностью. Для решения нелинейных уравнений применяется вариационный подход. Показано, что нелокальные и хиральные эффекты приводят к осцилляциям траектории и нелинейному вращению поляризации солитонных импульсов поля.

Ключевые слова: наноматериалы, хиральные структуры, солитоны.

DOI: 10.15372/AUT20190611

Введение. Развитие технологий тонкоплёночных оптических волноводов с активными ингредиентами красителя стимулировало создание интегрированных оптических систем. Для их практического использования необходимо разработать эффективные схемы модуляции и управления распространяющимся лазерным импульсом.

Хиральность микроструктурированного диэлектрика — одно из проявлений нелокальности отклика среды на действие поля. Нелокальность и, как следствие, хиральность, традиционно рассматриваемые на молекулярном уровне, могут проявляться и на больших масштабах, например десятки микрон в композитах [1] или в разрабатываемых на основе метаматериалов широкополосных круговых поляризаторах [2]. Эффекты, связанные с нелокальностью, могут наблюдаться в макроскопическом масштабе [3, 4] и давно известны в пьезоэлектрических и сегнетоэлектрических материалах, в частности «флексоэлектрическая» связь между градиентом механической деформации и электрической поляризованностью [5]. Подобные градиентные эффекты представляют интерес, потому что они указывают на возможный более интенсивный отклик в преобразователях на основе наноразмерных сегнетоэлектрических и других материалов. Нелокальность, относящаяся к диэлектрическим средам, формально ассоциируется с появлением более высоких порядков производных поля по независимой переменной в уравнениях, описывающих эволюцию импульсов полей [6].

Влияние хиральности на эволюцию поляризации частиц хорошо известно в разных областях физики, в том числе в квантовой теории поля. С хиральностью ассоциируется первоначально предсказанный Шрёдингером эффект Zitterbewegung, т. е. дрожание свободно движущейся релятивистской квантовой частицы, возникающее из-за интерференции между положительной и отрицательной энергией части спинорной волновой функции [7]. Классический аналог Zitterbewegung может наблюдаться в процессе суммирования частоты генерации световых волн в нелинейной среде при наличии временного (или пространственного) затухания [8, 9].

Учёт нелокальности при распространении солитонов в нелинейных средах проводился, например, в [10, 11]. Однако в работах, в которых изучались поляризационные эффекты

при распространении солитонов, не принимались во внимание недиагональные градиентные члены, возникающие при разложении коэффициента восприимчивости среды.

Цель данной работы — изучение влияния нелокальности на изменения поляризации и траектории импульсов электрического поля в нелинейном оптическом волноводе с кубичной нелинейностью с учётом градиентных членов.

Вывод модели. Хиральная микроструктура диэлектрика может быть следствием нелокальности среды, если характерные масштабы изменения поля и неоднородности среды сравнимы. Нелокальность отклика среды может быть выражена как

$$D_i(\mathbf{r}, t) = \int \kappa_{ij}(\mathbf{r} - \mathbf{r}', t - t') E_j(\mathbf{r}', t') d\mathbf{r}' dt'. \quad (1)$$

Здесь $E_j(\mathbf{r}, t)$, $j = x, y$, — поляризационные компоненты электрического поля \mathbf{E} . Диэлектрическая проницаемость κ_{ij} является функцией положения и времени и учитывает эффекты запаздывания. Считаем, что двухкомпонентное поле \mathbf{E} распространяется в однородной одномерной анизотропной среде вдоль оси Z . Далее мы ограничимся пространственной дисперсией. Аналогичный подход может быть применён для учёта временной дисперсии при описании эволюции световых импульсов в анизотропной хиральной среде. Эффекты запаздывания определяются в модификации выражения для поляризации среды путём разложения по степеням производных электрического поля \mathbf{E} :

$$D_i(\mathbf{r}, t) = \kappa_{ij} E_j + i\kappa_{ij,k} E_{j,k} + \kappa_{ij,kl} E_{j,kl} + \dots \equiv (\hat{\kappa}\mathbf{E})_i. \quad (2)$$

Здесь запятая в $E_{j,k}$ обозначает дифференцирование E_j по переменной $k = x, y, z$. В выражении для $\kappa_{i,k}$ индекс после запятой отвечает производной по соответствующей проекции волнового вектора. Пренебрегая производными по поперечным координатам, второй и выше производными по продольной координате z от недиагональных элементов тензора $\hat{\kappa}$, третьей и выше производными от диагональных его элементов, получаем

$$\hat{\kappa} \approx \begin{pmatrix} \kappa_{xx} + i\kappa_{xx,z} \partial_z + \kappa_{xx,zz} \partial_z^2 & \kappa_{xy} + i\kappa_{xy,z} \partial_z \\ \kappa_{yx} + i\kappa_{yx,z} \partial_z & \kappa_{yy} + i\kappa_{yy,z} \partial_z + \kappa_{yy,zz} \partial_z^2 \end{pmatrix}. \quad (3)$$

Обобщая работу [12] для анизотропной среды, запишем нелинейное уравнение Шрёдингера, представляющее эволюцию поля вдоль оси Z волновода в приближении медленных огибающих в виде

$$\frac{2i}{\omega} \left(v \frac{\partial \mathbf{E}}{\partial Z} + \frac{\partial \mathbf{E}}{\partial T} \right) = [-\hat{\kappa} + V(\mathbf{r}) - \chi \mathbf{E}^\dagger \mathbf{E}] \mathbf{E}, \quad (4)$$

где $\mathbf{E}^\dagger \mathbf{E} = |E_x|^2 + |E_y|^2$; $\mathbf{E} = (E_x, E_y)^T$ — медленная амплитуда поля; v — фазовая скорость в среде; ω — несущая частота; T — временная координата. Считаем, что кубичная нелинейная восприимчивость изотропна; χ — скаляр; V — потенциал, создаваемый дополнительными источниками, расположенными вблизи волновода с частотой, близкой ω , например квантовыми точками. Для изотропной среды $\hat{\kappa}$ — единичная матрица, и для $V \equiv 0$ система уравнений (4) совпадает с уравнениями Манакова [13]. Уравнения, подобные (4), без учёта анизотропии ($\hat{\kappa} \propto I \partial_z^2$, где I — единичная матрица) применяются для описания эволюции экситонных импульсов в длинных молекулярных цепочках. При этом линейная дисперсия второго порядка и кубичная нелинейность обусловлены диполь-дипольным взаимодействием соседних молекул. Эффекты, связанные с нелокальностью взаимодействия, учитывались лишь для изотропных сред [14]. В предлагаемой работе приводится обобщение на случай гиротропной нелокальной среды, которое описывается дифференциальными производными в недиагональных частях $\hat{\kappa}$.

Длина волны в оптическом диапазоне для рассматриваемых сред много меньше характерных масштабов проявления анизотропии. Поэтому высшими производными можно пренебречь. В то же время, как будет показано далее, учёт первых производных в недиагональных частях тензора $\hat{\chi}$ приводит к новым эффектам. Для малых амплитуд полей основной вклад в диагональную составляющую $\hat{\chi}$ вносит дисперсия второго порядка. Достаточно ограничиться первыми производными во внедиагональных частях тензора $\hat{\chi}$, поскольку они, как правило, меньше диагональных. Применяя приближение медленной огибающей, пренебрегаем членами разложения по степеням производных с ∂_z^n , $n > 2$. В рамках этого приближения отличие коэффициентов перед второй производной по Z пренебрежимо мало: $\chi_{xx,zz} \sim \chi_{yy,zz}$. Дополнительно полагаем, что внедиагональные элементы матрицы $\hat{\chi}$ равны $\chi_{xy} = \chi_{yx}$, $\chi_{xy,z} = \chi_{yx,z}$. Далее будет видно, что это условие отвечает эрмитовости гамильтониана системы. Перейдём к функциям $\Phi = \{E_x e^{iqz}, E_y e^{iqz}\} / \sqrt{\chi_0}$, где $q = \chi_{xy} / \chi_{xy,z}$. Тогда тензор (3) принимает вид

$$\hat{\chi} = \sigma_0(a_+ + b_+ \partial_z) + \sigma_z(a_- + b_- \partial_z) + \sigma_x d_+ \partial_z + \sigma_0 \chi_{xx,zz} \partial_z^2, \quad (5)$$

где σ_γ , $\gamma = x, y, z$, — матрицы Паули и σ_0 — единичная матрица;

$$\tilde{\chi}_{xx} = \chi_{xx} + q\chi_{xx,z} - q^2; \quad \tilde{\chi}_{yy} = \chi_{yy} + q\chi_{yy,z} - q^2, \quad (6)$$

$$a_\pm = (\tilde{\chi}_{xx} \pm \tilde{\chi}_{yy})/2; \quad d_\pm = i(\chi_{xy,z} \pm \chi_{yx,z})/2, \quad (7)$$

$$b_\pm = i(\chi_{xy,z} \pm \chi_{yx,z})/2. \quad (8)$$

Первый элемент в правой части (5) $\sigma_0 a_+ \Phi$ даёт вклад в уравнение (4), который исключается фазовым сдвигом $\Phi \rightarrow \Phi e^{ia_+ T}$. В итоге получаем систему уравнений

$$\frac{\partial \Phi}{\partial t} = i[\sigma_0 c \partial_z + \sigma_z(a_- + b_- \partial_z) + \sigma_x d_+ \partial_z + \sigma_0 \partial_z^2 - V(\mathbf{r}) + g \Phi^\dagger \Phi] \Phi. \quad (9)$$

Здесь $\partial_t = 2[v/\sqrt{\chi_{xx,zz}} \partial_Z + \partial_{\omega T}]$, $z = \sqrt{\chi_{xx,zz}} Z$, $g = \sqrt{\chi/\chi_0}$.

При отсутствии потенциала ($V \equiv 0$) для формы тензора диэлектрической проницаемости

$$\hat{\chi}_{DM} = \sigma_z(-H_{DM} + 2ih_{DM} \partial_z) + \sigma_x(-G_{DM} + 2ig_{DM} \partial_z) + \sigma_0(C_0 + \partial_z^2), \quad (10)$$

где $C_0, g_{DM}, G_{DM}, h_{DM}, H_{DM} \in \mathbb{R}$, $H_{DM}g_{DM} = G_{DM}h_{DM}$, система уравнений (4) совпадает с полностью интегрируемой системой уравнений Дирака — Манакова [15] и допускает точные солитонные решения. Однако для произвольного $\hat{\chi}$ (5) система (4) не интегрируема точными методами и сложна для аналитического решения. В общем неинтегрируемом случае возможен подход, основанный на вариационной аппроксимации решения в виде импульса с адиабатически изменяющимися параметрами. Для нелинейного уравнения Шрёдингера этот подход позволяет описывать динамику отдельного солитоноподобного импульса с хорошей точностью в волоконных световодах и в теории конденсата Бозе — Эйнштейна [14, 16]. Подход базируется на использовании усреднённого по пространственной координате лагранжиана. Важными элементами этого метода являются формы импульса и вариационные параметры. Выберем анзац в виде, близком точному солитонному решению, полученному в работе [15]. Представим анзац солитона в виде

$$\begin{Bmatrix} \Phi_1 \\ \Phi_2 \end{Bmatrix} = \eta_0 \begin{Bmatrix} \sin(\theta(t)) \operatorname{sech}(\eta z + f(t)) e^{i(k(t)z + q_0 z + \psi(t) + \phi(t))} \\ \cos(\theta(t)) \operatorname{sech}(\eta z + f(t)) e^{i(k(t)z - q_0 z - \psi(t) + \phi(t))} \end{Bmatrix}. \quad (11)$$

Здесь θ, ϕ, ψ, k, f — вариационные переменные, зависящие от параметра t . Константы η, η_0, q_0 действительны.

Гамильтониан системы имеет вид

$$\begin{aligned} \mathcal{H} = & \frac{1}{2} \int dz [H_M + a(|\Phi_1|^2 - |\Phi_2|^2) + V(z)(|\Phi_1|^2 + |\Phi_2|^2) + \\ & + ib[(\Phi_1^* \partial_z \Phi_1 - \Phi_1 \partial_z \Phi_1^*) - (\Phi_2^* \partial_z \Phi_2 - \Phi_2 \partial_z \Phi_2^*)] + \\ & + ic[(\Phi_1^* \partial_z \Phi_1 - \Phi_1 \partial_z \Phi_1^*) + (\Phi_2^* \partial_z \Phi_2 - \Phi_2 \partial_z \Phi_2^*)] + \\ & + d[(\Phi_1 \partial_z \Phi_2^* - \Phi_2^* \partial_z \Phi_1) + (\Phi_1^* \partial_z \Phi_2 - \Phi_2 \partial_z \Phi_1^*)] + \\ & + ih[(\Phi_1 \partial_z \Phi_2^* - \Phi_2^* \partial_z \Phi_1) - (\Phi_1^* \partial_z \Phi_2 - \Phi_2 \partial_z \Phi_1^*)], \end{aligned} \quad (12)$$

где $a = a_-; b = -ib_-/\sqrt{\mathcal{K}_{xx,zz}}; c = -ib_+/\sqrt{\mathcal{K}_{xx,zz}}; h = id_+/\sqrt{\mathcal{K}_{xx,zz}}; H_M = |\partial_z \Phi_1|^2 + |\partial_z \Phi_2|^2 + g(|\Phi_1|^2 + |\Phi_2|^2)^2$ — плотность гамильтониана системы уравнений Манакова [13]. Знак перед нелинейностью отвечает фокусирующей среде $g > 0$. Существование и распространение солитонов или близких по форме импульсов в таких оптических и других средах хорошо известно и изучается длительное время. В то же время исследование роли дисперсионных внедиагональных членов тензора анизотропии началось сравнительно недавно (см. ссылки в [15]).

Уравнения Лагранжа. Лагранжиан имеет вид

$$L(t) = \int_{-\infty}^{+\infty} \left\{ \frac{i}{2} \sum_{\sigma=1,2} [\Phi_\sigma^* (\Phi_\sigma)_t - \Phi_\sigma (\Phi_\sigma^*)_t] - \mathcal{H} \right\} dz.$$

После усреднения лагранжиан приводится к виду

$$L = Q \{ \zeta(t) k'(t) + \cos(2\theta(t)) \psi'(t) - 2\phi'(t) \} - H_c - \langle H_M \rangle, \quad (13)$$

$$H_c = Q \{ b q_0 - \cos(2\theta(t)) (a - b k(t) - c q_0) + c k(t) + k(t) G \sin(2\theta(t)) \cos(\Theta(t)) \}. \quad (14)$$

В системе уравнений (13), (14) введены следующие обозначения: $Q = 2\eta_0^2/\eta$, $f(t)/\eta = \zeta(t)$, $\Theta(t) = q_0 \zeta(t) - 2\psi(t)$ и $G = 2h e^{-q_0^2/(4\eta^2)}$. Условие минимума энергии даёт систему лагранжевых уравнений, которая описывает динамику параметров солитона:

$$\partial_t \theta(t) = -G \sin(\Theta(t)), \quad (15)$$

$$\partial_t \psi(t) = -2q_0 G \cot(2\theta(t)) \cos(\Theta(t)) - a + 2q_0 k(t) + c q_0, \quad (16)$$

$$\partial_t \zeta(t) = c - b \cos(2\theta(t)) - G \sin(2\theta(t)) \cos(\Theta(t)), \quad (17)$$

$$\partial_t k(t) = 2q_0 G \sin(2\theta(t)) \sin(\Theta(t)). \quad (18)$$

Учитываем, что в изотропном случае уравнение (4) сводится к уравнениям Манакова, для которых значения параметров фиксированы. В частности, амплитуда солитона η_0 связана с его длительностью η равенством $\eta = \eta_0\sqrt{g}$. Фаза $\phi(t)$ не входит в уравнения (15)–(18) и определяется в рамках уравнений Лагранжа с гамильтонианом H_M . Эти уравнения дают

$$\partial_t\phi(t) = -\frac{1}{4\eta} [q_0k(t) \cos(q_0f(t)/\eta - 2\psi(t)) + \eta^2 + (k(t) + q_0)^2]. \quad (19)$$

Траектория импульса определяется выражением

$$\langle z \rangle = \int_{-\infty}^{+\infty} z(|\Phi_1|^2 + |\Phi_2|^2) dz = -Q\zeta(t). \quad (20)$$

Из уравнений (15)–(18) следует, что вращение поляризации солитона возможно лишь для $b \neq 0$ и (или) $h \neq 0$, т. е. для нетривиальных недиагональных градиентных компонент тензора $\hat{\chi}$. Решение системы уравнений (15)–(18) существенно упрощается после перехода к вектору Стокса: $\mathbf{S} = \{S_x, S_y, S_z\}$, $S_x = \sin(2\theta(t)) \cdot \sin(\Theta(t))$, $S_y = -\sin(2\theta(t)) \cdot \cos(\Theta(t))$, $S_z = -\cos(2\theta(t))$.

Рассмотрим случай $a = c = 0$. Уравнения (15)–(17) представим в виде

$$\partial_t S_x(t) = 2q_0 S_z(0) S_y - 2q_0^2 S_z S_y, \quad (21)$$

$$\partial_t S_y(t) = -2G S_z - 2q_0 S_z(0) S_x + 2q_0^2 S_z S_x, \quad (22)$$

$$\partial_t S_z(t) = 2G S_y. \quad (23)$$

Система (21)–(23) с учётом интеграла $S_z^2 + S_x^2 + S_y^2 = S_z(0)^2$ приводится к уравнению

$$\partial_t^2 S_z = -2q_0^2 S_z^3 - 4G^2 S_z, \quad (24)$$

которое имеет известное решение

$$S_z(t) = \frac{\sqrt{1 - 4G^2 t_0^2}}{2\lambda^2 t_0} \operatorname{cn}\left(\frac{t}{t_0}, k\right), \quad k^2 = \frac{1}{2}(1 - 4G^2 t_0^2). \quad (25)$$

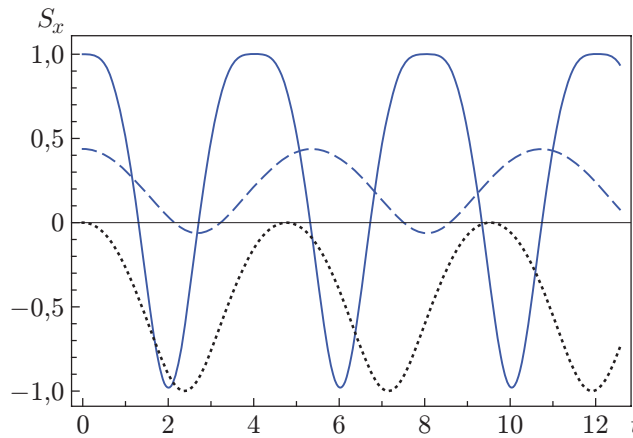


Рис. 1. Динамика поляризации для $G = 1$ и $q_0 = 0,25$ (пунктирная кривая), $q_0 = 0,5$ (штриховая кривая), $q_0 = 0,99$ (сплошная кривая)

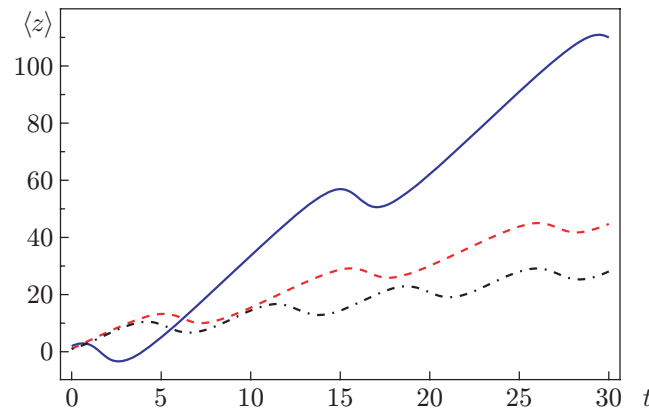


Рис. 2. Траектории центра масс солитона. Единицы безразмерные. Сплошная, пунктирная и штрихпунктирная кривые отвечают $A = 0,9, 0,7, 0,5$ соответственно. $C_0 = 1, C_1 = 20$

Здесь t_0 — произвольный параметр. Поляризация $S_x(t) = q_0 S_z(t) / G(S_z(0) - q_0 S_z(t) / 2) - q_0 S_z(0) / G(S_z(0) - q_0 S_z(0) / 2)$.

Динамика поляризации поля показана на рис. 1 для параметров $G = 1, t_0 = 0,5$. Значения параметров определяются начальными условиями. На рис. 2 показана динамика $\langle z \rangle$ от времени t для разных параметров среды, найденная решением уравнения (17). Влияние недиагонального градиентного члена проявляется в осцилляции траектории импульса.

Заключение. В работе показано, что влияние градиентных членов диэлектрической проницаемости в анизотропной среде приводит к негармоническому вращению поляризации солитонного импульса и к дрожанию его траектории. Параметры солитонов фиксируются начальными условиями, которые определяют разнообразие их поведения. Потенциал V может создаваться расположенными на нанорасстояниях от волновода квантовыми точками с резонансным оптическим переходом. Предполагается, что вызванная взаимодействием поля с этими наночастицами анизотропия может дать дополнительный инструмент управления поляризацией распространяющегося импульса. Влияние потенциала V в уравнении (4) может быть найдено в рамках предложенного вариационного метода. Подобным образом могут быть учтены эффекты, связанные с кривизной волновода, которые дают аналогичные градиентные члены в эволюционных уравнениях, описывающих динамику экситонов в спиральных молекулах [17].

Финансирование. Работа выполнена при финансовой поддержке Российского фонда фундаментальных исследований (грант № 18-02-00379) и Министерства науки и высшего образования РФ (государственная регистрация № АААА-А17-117062110026-3).

СПИСОК ЛИТЕРАТУРЫ

1. Robbie K., Brett M. J., Lakhtakia A. Chiral sculptured thin films // Nature. 1996. **384**. P. 616. DOI: 10.1038/384616a0.
2. Gansel J. K., Thiel M., Rill M. S. et al. Gold helix photonic metamaterial as broadband circular polarizer // Science. 2009. **325**, N 5947. P. 1513–1515. DOI: 10.1126/science.1177031.
3. Fu Y., Xu Y., Chen H. Applications of gradient index metamaterials in waveguides // Sci. Rep. 2015. **5**. 18223. DOI: 10.1038/srep18223.

4. **Kozlov A. V., Mozhaev V. G., Begar (Zyryanova) A. V.** Waveguide effect under “antiguinding” conditions in graded anisotropic media // *Journ. Phys. Condens. Matter.* 2010. **22**, N 7. 075401. DOI: 10.1088/0953-8984/22/7/075401.
5. **Ma W., Cross L. E.** Flexoelectricity of barium titanate // *Appl. Phys. Lett.* 2006. **88**, Iss. 23. 232902. DOI: 10.1063/1.2211309.
6. **Lu D., Hu W., Guo Q.** The relation between optical beam propagation in free space and in strongly nonlocal nonlinear media // *Europhys. Lett.* 2009. **86**, N 4. 44004. DOI: 10.1209/0295-5075/86/44004.
7. **Greiner W.** *Relativistic Quantum Mechanics.* Berlin: Springer, 1990. 448 p. DOI: 10.1007/978-3-662-04275-5.
8. **Boyd R. W.** *Nonlinear Optics.* N. Y.: Academic, 2003. 450 p.
9. **Longhi S.** Zitterbewegung of optical pulses in nonlinear frequency conversion // *Journ. Phys. B: Atomic, Molecular and Opt. Phys.* 2010. **43**, N 20. 205402. DOI: 10.1088/0953-4075/43/20/205402.
10. **Kivshar Y. S., Agrawal G. P.** *Optical Solitons: From Fibers to Photonic Crystals.* San Diego: Academic Press, 2003. 500 p.
11. **Tsitsas N. L., Lakhtakia A., Frantzeskakis D. J.** Vector solitons in nonlinear isotropic chiral metamaterials // *Journ. Phys. A: Math. Theor.* 2011. **44**, N 43. 435203. DOI: 10.1088/1751-8113/44/43/435203.
12. **Берхоер А. Л., Захаров В. Е.** Самовозбуждение волн с различной поляризацией в нелинейной среде // *ЖЭТФ.* 1970. **58**, вып. 3. С. 903–911. URL: <http://www.jetp.ac.ru/cgi-bin/r/index/r/58/3/p903?a=list> (дата обращения: 22.03.2019).
13. **Манаков С. В.** К теории двумерной стационарной самофокусировки электромагнитных волн // *ЖЭТФ.* 1974. **65**, вып. 2. С. 505–516. URL: <http://www.jetp.ac.ru/cgi-bin/r/index/r/65/2/p505?a=list> (дата обращения: 22.03.2019).
14. **Zabolotskii A. A.** Zitterbewegung in a Kerr medium // *Phys. Rev. A.* 2019. **99**, N 2. 023839. DOI: 10.1103/PhysRevA.99.023839.
15. **Progress in Optics** /Ed. E. Wolf. Vol. 43. Elsevier B. V., 2002. 634 p. Ch. 2: Variational methods in nonlinear fiber optics and related fields /B. A. Malomed. P. 71–193. DOI: 10.1016/S0079-6638(02)80026-9.
16. **Заболотский А. А.** Управление диссипативными солитонами в волноводной ловушке // *Автоматрия.* 2015. **51**, № 2. С. 61–70.
17. **Заболотский А. А.** Особенности диполь-дипольного взаимодействия в спиральном молекулярном агрегате // *Автоматрия.* 2018. **54**, № 4. С. 117–125.

Поступила в редакцию 22.03.2019

После доработки 28.05.2019

Принята к публикации 28.05.2019